# Pengaruh Suhu Sintering Terhadap Struktur Mikro Na<sub>2</sub>O Dari Na<sub>2</sub>CO<sub>3</sub> Hasil Pembakaran Tempurung Kelapa

Pandapotan Tambunan<sup>1\*)</sup>, Simon Sembiring<sup>1)</sup>, Wasinton Simanjuntak<sup>2)</sup>

<sup>1\*,1)</sup>Jurusan Fisika FMIPA Unila, <sup>2)</sup>Jurusan Kimia FMIPA Unila. Jl. Sumantri Brojonegoro 1, Bandar Lampung 35144. Alamat e-mail: ppagarajimbf@yahoo.com

Diterima (26 Februari 2015), direvisi (12 Maret)

**Abstract.** This study was conducted to determine the micro structure of samples  $Na_2O$  from  $Na_2CO_3$  of coconut shell products of combustion through by sintering process.  $Na_2CO_3$  precipitate is produced through the reaction products of  $CO_2$ , combustion coconut shell with NaOH solution.  $Na_2CO_3$  sintering at temperatures of  $800^{\circ}C$ ,  $825^{\circ}C$ , and  $850^{\circ}C$ , and then characterized using Scanning Electron Microscopy (SEM) to view the micro structure of the sample. SEM analysis showed micro structure with a magnification of 5000x at different sintering temperatures of  $800^{\circ}C$  with a micro structure at a temperature of  $850^{\circ}C$ . At this magnification, clearly have not seen the items indicating the presence of  $Na_2O$ . So do magnification 8000x and 10000x. Sintering at  $800^{\circ}C$  results are cracks, and the crystal form of bars, grain boundaries are not spread evenly. Meanwhile, the results of  $850^{\circ}C$  visible grains indicating a more homogeneous  $Na_2O$  and spread evenly on all the surface of the sample.

**Keywords.** Na<sub>2</sub>O, micro structure, SEM, sintering.

**Abstrak.** Penelitian ini dilakukan untuk mengetahui struktur mikro sampel Na<sub>2</sub>O dari Na<sub>2</sub>CO<sub>3</sub> hasil pembakaran tempurung kelapa melalui proses sintering. Endapan Na<sub>2</sub>CO<sub>3</sub> dihasilkan melalui hasil reaksi gas CO<sub>2</sub> hasil pembakaran tempurung kelapa dengan larutan NaOH. Rendemen Na<sub>2</sub>CO<sub>3</sub> disintering pada suhu 800°C, 825°C, dan 850°C, kemudian dikarakterisasi menggunakan (*Scanning Electron Microscopy*) SEM untuk melihat struktur mikro sampel. Hasil analisis SEM menunjukkan struktur mikro dengan perbesaran 5000x pada suhu sintering 800°C berbeda dengan struktur mikro pada suhu 850°C. Pada perbesaran ini belum terlihat secara jelas butir-butir yang menandakan kehadiran Na<sub>2</sub>O. Sehingga dilakukan perbesaran 8000x dan 10000x. Hasil sintering 800°C terdapat retakan, dan bentuk kristal batangan, batas butir tidak tersebar merata. Sedangkan, hasil sintering 850°C terlihat butir yang menandakan Na<sub>2</sub>O lebih homogen dan tersebar merata pada semua permukaan sampel.

Kata Kunci. Na<sub>2</sub>O, struktur mikro, SEM, sintering.

## **PENDAHULUAN**

Natrium oksida (Na<sub>2</sub>O) dan Natrium karbonat (Na<sub>2</sub>CO<sub>3</sub>) merupakan salah satu bahan baku penting yang banyak digunakan dalam dunia industri gelas, kaca dan keramik selain itu kedua bahan ini juga digunakan dalam industri keperluan seharihari seperti kertas, detergen, dan sabun.

Persentase penggunaan natrium karbonat dalam industri kaca sebesar 51% dari jumlah keseluruhan natrium karbonat pada tahun 1999 (Morrin, 2000), pembuatan deterjen sebesar 10% (*Human and Environmental Risk Assessment*, 2005), dan jumlah natrium oksida dalam pembuatan kaca sebesar 11,6% (Prihandoko dkk., 2014).

Pandapotan dkk: Pengaruh Suhu Sintering Terhadap Struktur Mikro Na<sub>2</sub>O Dari Na<sub>2</sub>CO<sub>3</sub> Hasil Pembakaran Tempurung Kelapa.

hidroksida, natrium peroksida, atau natrium nitrit. Selain itu, juga diusulkan bahwa natrium oksida terbentuk dari reaksi antara uap natrium dan oksigen (Yusuf dan Cameron, 2004). Na<sub>2</sub>O dapat juga diperoleh melalui pembakaran soda abu (Na<sub>2</sub>CO<sub>3</sub>) pada suhu tinggi dan dipanaskan hingga suhu 851°C. Melalui proses sintering, CO<sub>2</sub> pada sampel Na<sub>2</sub>CO<sub>3</sub> mengalami penguapan membentuk Na<sub>2</sub>O.

Secara umum proses pembuatan natrium karbonat melalui dua tahap, yakni proses secara sintetik dan alami (Glass, 1998; Wisniak, 2003). Proses secara sintetik meliputi *Solvay* (Guttman 1996) dan *Le blanc* (Cook, 1998), dan secara alami atau *natural local trona* (Abdalla dkk., 2014; Santini, 2004).

Proses Solvay dan Le blanc dianggap rumit dan melalui langkah yang panjang, dan keberadaan bahan baku trona yaitu untuk proses alami tidak ada di Indonesia, mendorong sehingga peneliti mensintesis Na<sub>2</sub>CO<sub>3</sub> dengan memanfaatkan tempurung kelapa yang banyak ditemui di Indonesia, khususnya di Lampung dengan sederhana melalui pembakaran teknik dalam tungku pembakaran. Tempurung kelapa merupakan limbah industri kopra yang hanya sebagian diolah menjadi arang tempurung secara tradisional (pembakaran terbuka) yang dapat menyebabkan polusi udara (Widyastuti dkk., 2012).

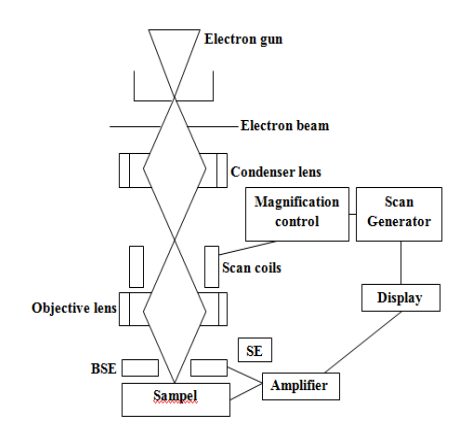
Persediaan tempurung kelapa yang sangat banyak, potensial digunakan untuk menghasilkan natrium karbonat melalui teknik wet scrubbing, dimana CO<sub>2</sub> hasil pembakaran tempurung kelapa diserap ke dalam larutan natrium hidroksida, NaOH, dan menghasilkan endapan natrium karbonat (Mahmoudkhani dan Keith, 2009).

Dalam penelitian sebelumnya Ningrum, (2013), mensintesis Na<sub>2</sub>CO<sub>3</sub> dengan memanfaatkan CO<sub>2</sub> hasil pembakaran tempurung kelapa dan konsentrasi larutan NaOH sebesar 37,5; 44,4; 50 dan 54,5

memiliki struktur mikro lebih baik dibandingkan sampel dengan konsentrasi 44,4% w/w.

Salah satu karakteristik utama suatu material adalah strukturmikro. Strukturmikro dapat diketahui melalui karakterisasi menggunakan Scanning Electron Microscopy (SEM), seperti pada Gambar 1. SEM merupakan suatu alat analisis yang digunakan untuk menganalisis struktur mikro dan morfologi suatu bahan secara detail. Berkas elektron dihasilkan dengan memanaskan filamen, ditembakkan dengan senapan elektron (electron gun) kemudian dikumpulkan oleh lensa kondenser elektromagnetik, dan difokuskan oleh lensa objektif.

Scan coils digunakan untuk memindai permukaan sampel yang berfungsi untuk mengontrol perbesaran gambar hasil SEM. Objective lens untuk mengambil gambar objek yang diinginkan. Elektron yang menumbuk sampel dan langsung dihamburkan kembali, akan ditangkap oleh detektor BSE (back scattering) sedangkan elektron yang masuk ke dalam sampel kemudian dipantulkan ditangkap detektor SE (secondary electron). Elektron ditangkap oleh masing-masing yang detektor akan melewati amplifier untuk mengatur tegangan sehingga bisa dipantulkan ke layar.



**Gambar 1**. Skematik karakterisasi sampel menggunakan SEM

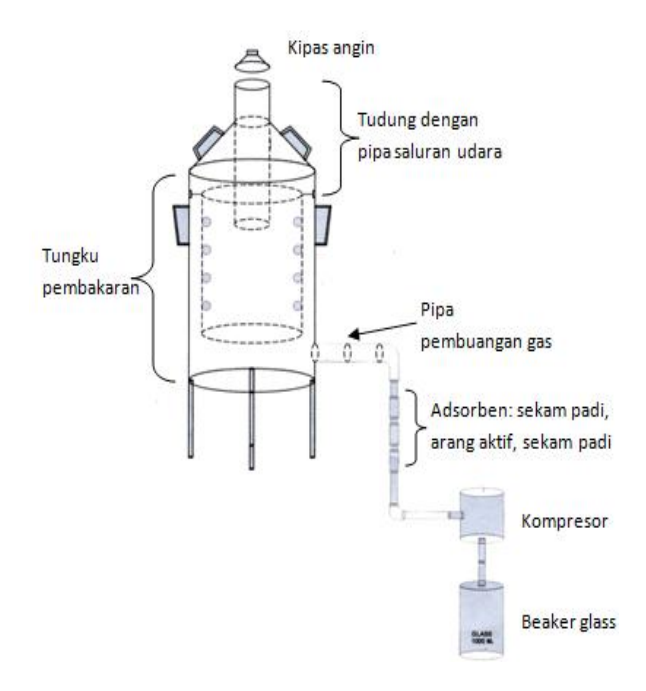
## METODE PENELITIAN

Secara garis besar, penelitian ini mencakup tiga tahapan kegiatan, yaitu preparasi tempurung kelapa, penangkapan gas CO<sub>2</sub> melalui teknik wet scrubbing, dan karakterisasi endapan yang diperoleh dengan SEM untuk melihat stukturmikro. Preparasi tempurung kelapa dilakukan membersihkan dengan cara bagian tempurung kelapa dari sabut hingga bersih. Kemudian tempurung kelapa yang sudah dibersihkan. dijemur di bawah matahari langsung. Proses pengeringan dan bagian-bagian homogen yang untuk mempermudah pembakaran, dan saat proses pembakaran asap yang dihasilkan dalam jumlah banyak. Preparasi tempurung kelapa ditunjukkan pada Gambar 2.

Proses selanjutnya yaitu penangkapan gas CO<sub>2</sub> dengan teknik *wet scrubbing*, dengan cara melarutkan NaOH teknis sebesar 240 gram kedalam aquades sebanyak 500 mL. Selanjutnya, dilakukan proses pembakaran tempurung kelapa di dalam tungku pembakaran yang dirancang sebelumnya secara sederhana.



Gambar 2. Preparasi Tempurung Kelapa (a) proses pengeringan tempurung kelapa (b) tempurung kelapa dipecah menjadi beberapa bagian



Gambar 3. Perangkat penangkapan gas CO<sub>2</sub>

Pembakaran dilakukan secara semitertutup, asap hasil pembakaran tempurung kelapa disaring menggunakan adsorben sekam padi dan arang aktif.

Gas CO<sub>2</sub> yang dihasilkan diteruskan ke dalam larutan NaOH melalui pipa, pembakaran dilakukan selama 6 jam, seperti pada **Gambar 3**.

Endapan Na<sub>2</sub>CO<sub>3</sub> yang diperoleh kemudian dibersihkan dari pengotor dengan cara mencuci menggunakan alkohol 70% hingga berwarna putih, selanjutnya disaring dan selanjutnya disintering pada suhu 800°C, 825°C dan 850°C.

#### HASIL DAN PEMBAHASAN

Saat proses pembakaran dimulai, secara perlahan CO<sub>2</sub> mengalir kedalam larutan NaOH berwarna putih hingga berubah menjadi coklat pekat. Pembakaran pada 3 jam pertama warna larutan NaOH menjadi kecoklatan, dan 3 jam kedua secara keseluruhan warna larutan NaOH berubah menjadi coklat pekat dengan terjadinya kerak tipis pada pinggiran *beaker glass*. Hal ini dikarenakan pada saat proses





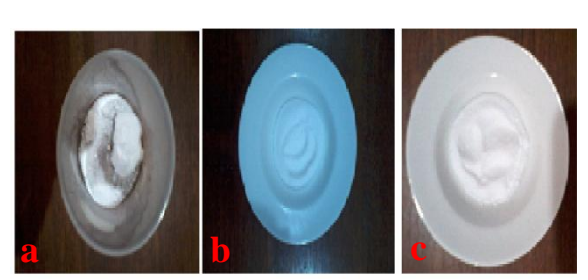




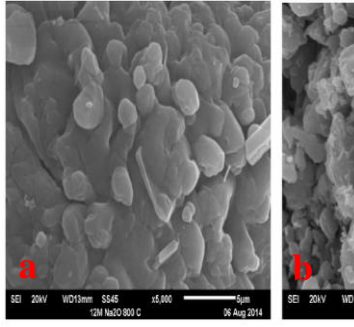
**Gambar 4.** Proses pembentukan Na<sub>2</sub>CO<sub>3</sub> (a) pengaliran CO<sub>2</sub> ke dalam larutan NaOH (b) terjadi kerak tipis (c) pembakaran setelah 6 jam (d) endapan Na<sub>2</sub>CO<sub>3</sub> yang terbentuk.

mengalirkan CO<sub>2</sub> ke dalam larutan NaOH, selang pada pompa air tidak seluruhnya dimasukkan ke dalam larutan, tetapi dibuat pada permukaan larutan sehingga terjadi buih air. Setelah pembakaran selama 6 jam, hasil yang diperoleh menunjukkan terjadi endapan Na<sub>2</sub>CO<sub>3</sub>. Proses pengaliran CO<sub>2</sub> dan pembentukan Na<sub>2</sub>CO<sub>3</sub> ditunjukkan pada **Gambar 4**.

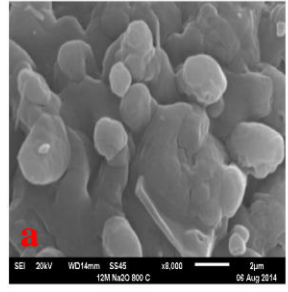
Serbuk Na<sub>2</sub>CO<sub>3</sub> disintering pada suhu 800°C, 825°C, dan 850°C selama 3 jam untuk mendapatkan Na<sub>2</sub>O. Proses ini mengakibatkan perubahan warna pada Na<sub>2</sub>O yakni semakin putih. Serbuk Na<sub>2</sub>O setelah melalui proses sintering pada suhu yang berbeda ditunjukkan pada **Gambar 5**. **Gambar 5**, menjelaskan perubahan warna semakin putih pada masing-masing serbuk Na<sub>2</sub>O. Hal ini terjadi karena unsur H<sub>2</sub>O dan

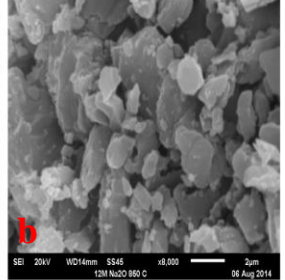


**Gambar 5.** Hasil sintering pada (a) 800°C (b) 825°C (c) 850°C



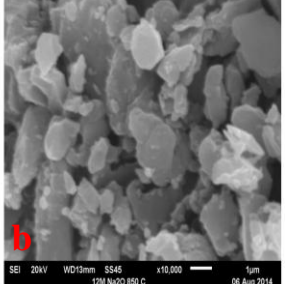
**Gambar 6.** Struktur mikro Na<sub>2</sub>O pada perbesaran 5000x pada suhu sintering (a) 800°C dan (b) 850°C





**Gambar 7.** Struktur mikro Na<sub>2</sub>O pada perbesaran 8000x pada suhu sintering (a) 800°C dan (b) 850°C





**Gambar 8.** Struktur mikro Na<sub>2</sub>O pada perbesaran 10000x pada suhu sintering (a) 800°C dan (b) 850°C

komponen lain yang masih terkandung pada serbuk terurai pada suhu tinggi.

Struktur mikro dapat dianalisis melalui karakterisasi dengan SEM pada perbesaran 5000x, 8000x dan 10000x. Hasil analisis struktur mikro dapat dilihat pada **Gambar 6**, **Gambar 7**, dan **Gambar 8**.

Gambar 6 merupakan hasil karakterisasi SEM pada perbesaran 5000x yang menunjukkan permukaan sampel terdapat gumpalan-gumpalan menyerupai kristal namun belum terlihat secara jelas butiranbutiran Na2O. Hasil analisis SEM Na2O pada suhu sintering 800°C memiliki morfologi yang berbeda dengan suhu sintering 850°C. Gambar 6A terlihat gumpalan menyerupai kristal dan terlihat berupa kristal batangan di beberapa bagian struktur mikro dan ukuran partikel tidak seragam. Gambar 6B terlihat gumpalan berupa kristal tersebar merata dengan ukuran partikel yang homogen. Hasil analisis pada perbesaran 5000x belum terlihat secara jelas butiran-butiran yang menandakan Na<sub>2</sub>O, maka dilakukan analisis pada perbesaran 8000x dan 10000x untuk melihat secara terperinci struktur mikro Na<sub>2</sub>O.

Gambar 7 menunjukkan struktur mikro sampel terlihat lebih baik dan jelas dibandingkan dengan perbesaran 5000x vang mengindikasikan kehadiran Na<sub>2</sub>O. Pada Gambar 7A semakin terlihat bahwa butiran Na<sub>2</sub>O terdapat di beberapa bagian struktur mikro dengan ukuran partikel cukup besar dan bentuknya tidak homogen. Hasil ini berbeda dengan Gambar 7B yakni hasil analisis menunjukkan butiranbutiran Na<sub>2</sub>O yang sudah terbentuk lebih merata di semua bagian permukaan sampel, dan memiliki ukuran partikel yang homogen.

Selanjutnya hasil SEM dengan perbesaran 10000x menunjukkan retakan semakin terlihat jelas pada **Gambar 8A**, dan struktur mikro terlihat semakin jelas. Butiran-butiran Na<sub>2</sub>O pada permukaan sampel tidak tersebar merata dan tidak homogen ukuran butirannya dan terdapat retakan (*cracking*), sedangkan **Gambar 8B** gumpalan-gumpalan yang terlihat diikuti dengan butiran Na<sub>2</sub>O yang merata disemua bagian permukaan sampel dan ukuran partikel Na<sub>2</sub>O adalah homogen.

Berdasarkan hasil analisis SEM disimpulkan bahwa sampel Na<sub>2</sub>O yang dihasilkan melalui suhu sintering 850°C memiliki struktur mikro lebih baik dibandingkan dengan sampel dengan suhu sintering 800°C.

#### **KESIMPULAN**

Hasil analisis mikro struktur menggunakan SEM menunjukkan sampel dengan suhu sintering 850°C memiliki ukuran butir yang lebih homogen, tersebar merata dan ukuran partikel yang sama.

## **UCAPAN TERIMA KASIH**

Penulis mengucapkan terima kasih kepada Kepala Laboratorium Kimia Fisik Jurusan Kimia FMIPA UNILA untuk fasilitas laboratorium.

#### **DAFTAR PUSTAKA**

- Abdalla, Abedlaati, M., A., Siddig, B., E., Habuuznien, M., Gasmelseed, Gurashi, A. 2014. Production of Caustic Soda from Natural Local Trona. *Journal of Applied and Industrial Sciences*. Vol. 2, No. 1. pp. 19-23. Sudan.
- Cook, Michael. 1998. The Leblanc Soda Process: A Gothic Tale for Freshman Engineers. Chemical Engineering Education. University of Massachusetts.
- Glass, Gary, B. 1998. Proceedings of The First International Soda Ash Conference Volume 1. Public Information Circular No. 39. Wyoming State Geological Survey. Laramie, Wyoming.
- Guttman, Kasprzycka. 1996. Material For Experiment No. 10: Continuous Process of Sodium Bicarbonate Production by Solvay Method. Wydawnictwa UW, Warszawa.
- Human and Environmental Risk Assessment. 2005. Sodium Carbonate. Edition 2.0 April, 2005.

- Mahmoudkhani, M., Keith, D.W. 2009. Low-Energy Sodium Hydroxide Recovery for CO<sub>2</sub> Capture from Atmospheric Air – Thermodynamics Analysis. *International Journal of Greenhouse Gas Control*. G Model IJGGC-156, Pages 9. Canada.
- Morrin, M. 2000. Still Water Runs Deep-There's more to Global Soda Ash Markets than Meets The Eye. World Petrochemical Conference, Houston, USA.
- Ningrum R., S. 2013. *Karakteristik Struktur dan Mikrostruktur Na<sub>2</sub>CO<sub>3</sub> Berbasis Tempurung Kelapa*. Skripsi.
  Fakultas MIPA Universitas
  Lampung. Bandar Lampung.
- Prihandoko, B., Sardjono, P., Zulfia, A., Waskitoaji, W. 2014. The Phase Transformation on LTAP Composite Development on Sodium Lime Silica Glass Matrices with Sintering Above Glass Transition. Proceeding of the 6<sup>th</sup> National Seminar on Neutron and X-Ray Scattering. Tangerang.

- Santini, K., Fastert, T., Harris, R. 2004. Soda Ash. 6<sup>th</sup> Edition of Industrial Minerals and Rocks.
- Widyastuti, S., Saloko, S., Murad, Rosmilawati. 2012. Optimasi Proses Pembuatan Asap Cair dari Tempurung Kelapa sebagai Pengawet Makanan dan Prospek Ekonomisnya. Agroteksos Vol. 22 No 1.
- Wisniak, Jaime. 2003. Sodium Carbonatefrom Natural Resources to Leblanc and Back. *Indian Journal of Chemical Technology*. Vol. 10, January 2003, pp. 99-112.
- Yusuf, Z., and Cameron, J. 2004. Decarbonization Reactions between Sodium Metaborate and Sodium Carbonate. *Ind. Eng. Chem. Res.* (43), pp. 8148-8154.